

УДК: 619:636.4]:611.61.019

КАРЛИЧНО-ЧАШКЕН СИСТЕМ НА СВИНСКИ БУБРЕГ: МОДЕЛ ЗА УРОЛОШКИ ПРОЦЕДУРИ ВО ХУМАНА МЕДИЦИНА

Лазо Пендовски¹, Влатко Илиески¹, Добрила Тосовска-Лазарова², Петков Владимир¹,
Љупче Кочоски¹, Флорина Поповска-Перчиник¹

¹ Кафедра за Функционална морфологија, Факултет за ветеринарна медицина- Скопје

² Институти за Анатомија, Медицински факултет-Скопје

e-mail: lpendovski@fvm.ukim.edu.mk

АБСТРАКТ

Цел на оваа студија е да се создаде валиден анимален модел од свински бубрег кој ќе се употребува во експерименталната хумана медицина.

На вкупно 72 корозивни 3-димензионални силиконски одливки направена е морфолошка анализа на собирчиот систем на свински бubreзи. Морфометриски се евалауирани: додека на каудалниот инфицибулум, ширината на каудалниот инфицибулум и одредена е големината на каудалниот карлично-инфидибуларниот агол.

Утврдени се две различни морфолошки форми на карлично-чашкени системи кои во 52.77% се билатерално симетрични. Просечната должината на каудалниот инфицибулум изнесува 3.09 см додека ширината на каудалниот инфицибулум е утврдена на 0.66 mm. Просечната големина на карлично-инфидибуларниот агол мерена помеѓу инфицибуларната и карлично-уретралната аксиса изнесува 50.14° степени.

Според резултатите, морфолошко-морфометриските карактеристики на свинскиот бубрег се слични со истите во човечкиот бубрег. Свинските бubrezi преставуваат добар експериментален модел кој треба да се користи во разни уролошки процедури во експерименталната хумана медицина.

Клучни зборови: свински бубреж, карлично-чашкен систем, анимален модел, морфологија

ВОВЕД

Денес, употребата на животните во медицината е императив за решавање на бројни медицински проблеми.(1) Свинскиот бубрег е орган кој се почесто се користи во уролошките истражувања бидејќи неговата анатомија и физиологија е слична со онаа во бубрег кај човек(1,3). Бubreзите од двата вида се класифицираат во групата на мултипапиларни односно мул-

тилобуларни и имаат скоро идентична организациска поставеност на бубрежните папили и бубрежните чашки а кај адултни индивидуи органите имаат и слична тежина, големина и број на нефрони(2).

Анатомијата на човечкиот бубрег во минатото е добро проучена (5-7) а резултатите од истражувањата се повеќе имаат апликативна примена во рутинската клиничка пракса(8,9). Sampaio F. прв ја описал просторната анатомија на долниот пол од човечки бубрег како фактор од кој зависи

пасажата на фрагменти од бубрежни камења после нивното разбивање со бранова литотрипсија. (9) Денес повеќето истражувачи кои ја опсервираат оваа проблематика се согласни дека краток и широк инфериорен инфицибулум како и широк карлично-инфицибуларен агол се сигнификантните фактори од кои зависи целоисходноста во терапијата на бубрежните камења(10-16).

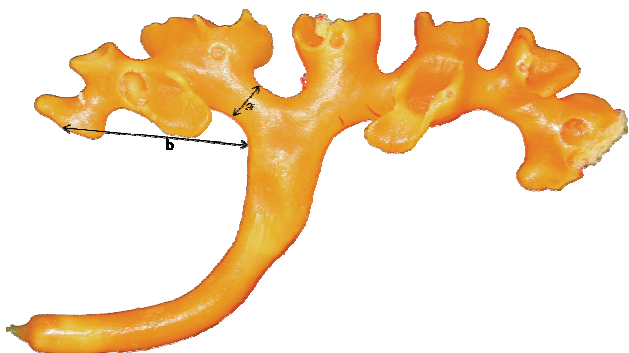
Иако бубрезите од свиња се добро проучени од физиолошки аспект(ренин-ангиотензин системот, динамиката на транспортот на урина)(2,19) недостасуваат морфолошки студии за просторната анатомија на нивниот собирачки систем. Литературните податоци за анатомските карактеристики на карлично-чашкениот систем на свински бубрези се генерички и воглавно содржат дескриптивни информации за неговата морфологија. (1,3) Од друга страна новите техники за дијагностика и хируршки третман на бубрезите во урологијата јасно ја нагласуваат потребата за познавање на просторната анатомија на собирачкиот систем на бубрезите кај луѓето(8, 9, 15) со што се наметнува потребата од воведување на анимални модели, анатомски компатибилни на човечкиот бубрег, кои ќе овозможат да се зголемат апликациите на експерименталните ендоуролошки техники во лабораторија и нивен трансфер во клиника.

Предмет во овој труд е да се утврдат мофорлошко-морфометриските карактеристики за карлично-чашкениот систем на бубрези од раса на свиња која се одгледува на фармите во Република Македонија, со цел да се воспостави модел на свински бубрег кој ќе може да се користи во експерименталната урологијата.

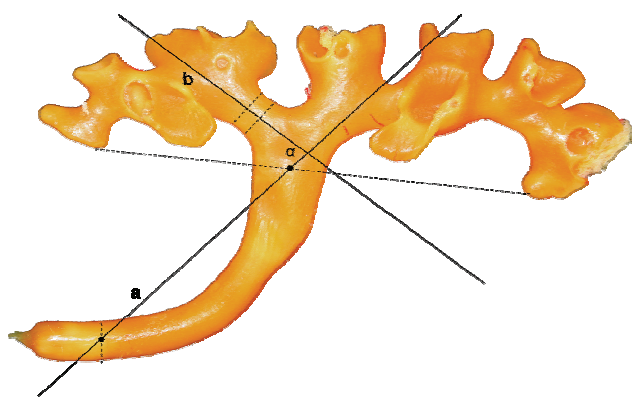
МАТЕРИЈАЛ И МЕТОДИ

Студијата е изведена на Катедрата за функционална морфологија при Факултетот за ветеринарна медицина - Скопје. Материјалот се состои од 72 свински бубрека земени од мешана раса (бел ландарс и јоркшир) од фармата во Градско со тежина од 90-100 кг (просек 95кг) и старост од 5.5 месеци (просек 160-170 дена). Бубрезите се извадени во пар заедно со големите крвни садови (aorta и v.cava caudalis) додека уретерот е инцизиран 10 см каудално од хилусот на бубрезите со цел да се зачува интакноста на садовно-уринарната петелка. Во студијата се вклучени само бубрези од здрави единки. Бубрезите со патолошки промени (малформации, аномалии, хидронефроза, едем на бубрег, апцеси, бубрежни цисти и сл.) се исклучени од истражувањето.

Со методата на корозивна техника, направени се силиконски корозивни одливки



Слика 1. Просторна анатомија на каудален инфицибулум на корозивен препарат од бубрег на свиња. **Ширината**(а) е мерена на најтесното растојание долж каудалниот инфицибулум. **Должината** на каудалниот инфицибулум(б) е мерена од средишниот дел на најодалечената мала бубрежна чашка позиционирана медијално на инфицибулот до средната точка на каудалниот раб на бубрежната карлица на ниво на бубрежен синус



Слика 2. Карично-инфидибуаларен агол на корозивен препарат на бубрег од свиња. **Карично-уретрална аксиса**(а) ги спојува централната точка на бubreжната карлица (определена долж медијалните маргини на нејзиниот крацијален и каудален раб на ниво на бubreжен синус) со централна средишна точка на уретерот спротивно од каудалниот пол на бubreгот. **Инфидибуларна аксиса**(б) поврзува две средни соседни точки по должината на каудалниот инфидибулум. Внатрешниот агол формиран на инсертацијата од карично-уретралната аксиса и инфидибуларната аксиса е мерениот агол (α)

од карично-чашкениот систем. Употребен е силикон S10/S3 заедно со зацврснувач S6. Ваквата комбинација го спречува собирањето на силиконот за време на зацврстувањето со што се добиваат „реални“ одливки кои ја задржуваат оригиналната форма и големина.

Процесот започнува со одстранување на масната капсула кога со помош на шприц и континуиран благ притисок во карично-чашкениот систем се инјектира мешавинана силикон S10/S3(10-15ml) во сооднос 100:1. Во инјектиранот полимер е додаден зацврснувач S6 во 0.5% од вкупната инјектираната маса. Вака подотврните бubreзи се ставени во соодветна анатомска позиција во времетраење од 2 часа кога и завршува зацврстувањето. Корозијата е изведена со комерцијална концентрирана HCl до потполно разградување

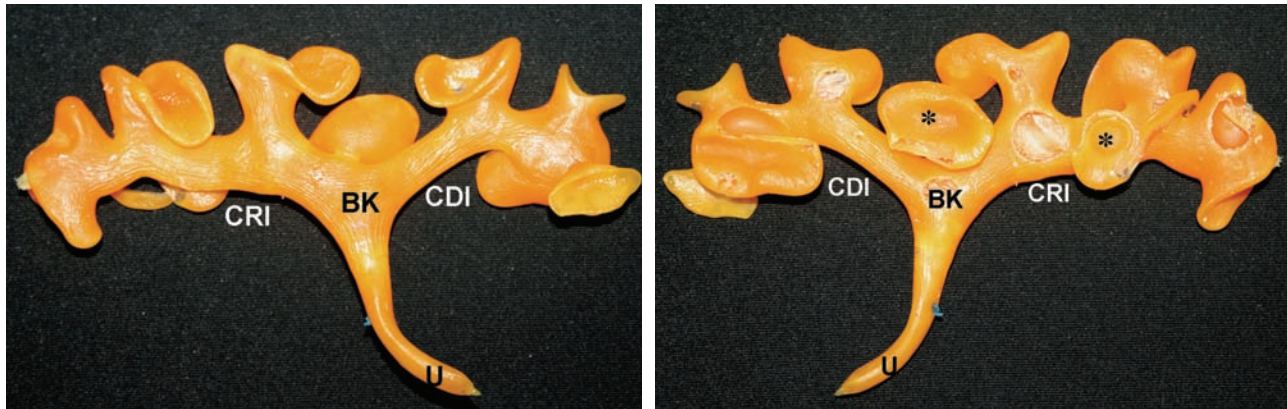
на органската материја оставајќи ги три димензионалните внатрешни силиконски одливки на карично-чашкениот систем. На крај, корозираните одливки се перат со дејонизирана вода со што се одстрануваат сите заостанати органски компоненти.

На корозивните препарати е ализирана морфологијата на собирчиот систем на бubreзите. Морфометриски е евалуирана должината и ширината на каудалниот инфидибулум и одредена е големината на каудалниот карично-инфидибуларниот агол. (слика 1, 2) За евалуација на обележјата модифицирана е методата етаблирана од Elbahnasy et al(11). Корозивните одливки се сликани со дигитална камера Canon со оптички зум 7.1 мегапиксели, а за прецизна анализа на обележјата употребен е софтвер Scion Image for Windows.

Статистичката обработка на податоците е направена со компјутерски софтвер Statistic for Windows пакет 7.

РЕЗУЛТАТИ

Според изгледот, постојат две морфолошки форми на карично-чашкени системи. Во 70.83% од серијата испитани корозивни одливки, утврдени се кралично-чашкени системи кои имаат долгии и тенки крацијални и каудални инфидибулуми(*calices majores cranialis et calices majores caudalis*) кои се отвараат во кратка бubreжна карлица(*pelvis renalis*) додека кај останатите корозивни препарти (29.17%) карично-чашкените системи имаат кратки и широки крацијални и каудални инфидибулуми(*calices majores cranialis et calices majores caudalis*) кои се отвараат во широка бubreжна карлица(*pelvis renalis*). (слика 3, 4)



Слика 3. Вентрална (лево) и дорзална (десно) површина на корозивна одливка од симетричен карлично-чашкен систем на лев свински бубрег. Карлично-чашкениот систем има долг и тенок кранијален (CRI) и каудален (CDI) инфицибулум, кои се отвараат во куса бubreжна карлица (BK). Во дренираат пенпендикуларни мали бubreжни чашки (*).

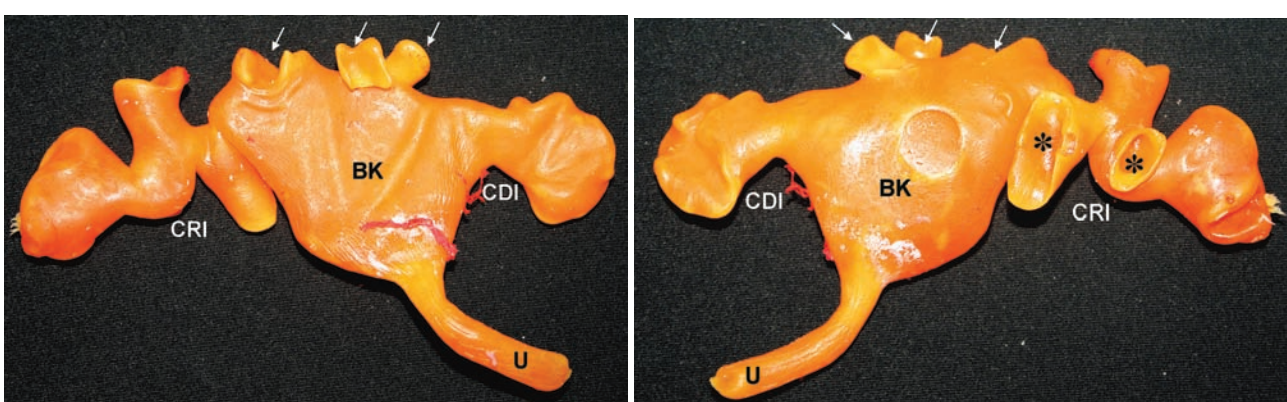
Кај двете морфолошките форми била-терална симетрија на карлично-чашкени-от систем постои во 52.77%.

Резултатите од статистичката обрабо-тка на податоците на манифесните ва-ријабли во каудалниот пол на свинските буберзи детално е прикажана во табела 1.

Според резултатите, кај корозивните одливки просечната должината на каудал-

ниот инфицибулум изнесува 3.09 см додека неговата ширината мерена на најтесното растојание долж инфицибулумот изнесува 0.66 mm.

Просечната големина на карлично-инфицибуларниот агол мерена помеѓу ин-фицибуларната и карлично-уретралната аксиса изнесува 50.14° степени.



Слика 4. Вентрална (лево) и дорзална(десно) површина на корозивна одливка од асиметричен карлично-чашкен систем на лев свински бубрег. Карлично-чашкениот систем има краток и широк кра-нијален (CRI) и каудален (CDI) инфицибулум кои се отвараат во широка бubreжна карлица (BK). Долж ла-тералниот раб во средишниот дел на бubreжната карлица се отвараат мали бubreжни чашки (бели стрелки). Во дренираат пенпендикуларни мали бubreжни чашки (*).

Табела 1. Резултати за просторната анатомија во каудалниот пол на свински бурези

	Descriptive statistic						
	Valid N	Mean	Median	Min.	Max.	Variance	Std.Dev.
ДКАИ	72	3,09	3,03	1,68	4,67	0,337	0,5806
ШКАИ	72	0,66	0,62	0,30	1,25	0,039	0,1966
КИА	72	50,14	48,49	30,14	80,38	168,564	12,9832

ДКАИ - должина на каудален инфицирани пол

ШКАИ - ширина на каудален инфицирани пол

КИА - карлично-инфицирани агол

ДИСКУСИЈА

Морфологијата на карлично-чашкениот систем во свинските бурези е предиктивна. Кај сите испитани бурези собирачкиот систем се состои од бubreжна карлица и две големи бubreжни чашки во кои се отвараат малите бubreжни чашки. Кај двете морфолошки утврдените форми на карлично-чашкени системи билатерална симетрија постои во 59.37% што е скоро идентично со податоците објавени од Sampaio F. et al. кои известуваат за 56% на билатерална симетрија (3). Кај човечки бubreг билатералната симетрија е помала и се појавува во 37.1%. (7,18)

Морфометиските параметри за долнината и ширината на каудалниот инфицирани пол во свински бурези кои се утврдени во оваа студија (3.09 см длина и 0.66 mm ширина) се совпаѓаат со податоците кај луѓе. Според медицинската литература инфицираниот пол на човечки бubreг има просечна длина од 3.6cm-3.8cm и просечна ширина од 0.5 -0.9cm (11), поголема длина од 3.0cm и поголема ширина од 0.5cm (12), длина од 3.2cm и ширина од 0.6cm (14) односно поголема длина од 0.4cm и помала ширина од 0.4cm (17). Во литературата не сретуваме податоци за долнината и ширината на каудалниот инфицирани пол

на свински бурези, како што се прикажани во оваа студија што укажува на потребата за дополнителни анализи.

Што се однесува до карлично инфицираниот агол, во оваа студија неговата просечна големина е утврдена на 50.14° степени. Слично, кај бubreг од човек, просечниот агол измерен помеѓу инфицирната и карлично-уретралната аксиса е во границите помеѓу 50.0 и 67.0 степени (11). Според Gupta , агол од 45 степени или поголем постои во 71% од успешните случаји на одстранување на бubreжни камења (12) што е скоро идентично со наодите на Gozen AS., кој во 77% од пациентите со успешен третман на бubreжни камења утврдил агол поголем од 45 степени(14) а исто така не одстапува и од големината на карлично инфицираниот агол утврдена во бурези кои имаат бubreжни камења каде изнесува 56.62 степени.(12) Иако во наведените референции авторите во своите анализи за евалуација на аголот користат интравенозни пиелограми од човечки бурези, податоците се совпаѓаат со нашите наоди на корозивни одливки.

На корозивни одливки од човечки бubreг е утврдено дека во 74% аголот кој се формира помеѓу долнинот инфицирани пол и бubreжната карлица е поголем од 90 степени додека во останатите 26% аголот е помал од 90 степени.(4) Мерниот аголот,

во наведената референца е формиран од уретралната аксиса и т.н централна аксиса на уретеро-карличниот регион кој за да се добие мора да се земе во предвид локацијата на калкулусот позициониран во бубрежната чашка.

Податоците добиени на корозивни препарати се разликуваат од нашите како и од податоците на повеќето погоре цитирани автори. Сметаме дека разликата се должи на употребената мерна метода која различно го дефинира аголот. Имено, бидејќи калкулусот може да биде позициониран во различни места во инфериорниот пол на бубрегот, аголот може да варира во широки рамки (помал или поголем од 90 степени).

Во овој труд, како и во наведените анализи за човечки бубрег, употребена е метода на Elbahnasy et al.(11) каде всушност аголот го преставува патот на активната дефлексија на флексибилниот уретероскоп кој при навлегувањето во каудалниот пол на бубрегот за време на уретреоскопија треба да помине преку определените точки во: уретрот наспроти каудалниот пол, средишниот дел на бубрежната карлица и долж каудалниот инфицибулум. При-

тоа, за поголема прецизност во евалуација на аголот, различно од останатите автори, во овој труд употребен е компјутерски софтвер Scion Image со што добиените податоци се прецизни и репродуцибилни.

ЗАКЛУЧОК

Според резултатите во трудот, може да се заклучи дека морфометриските параметрите на карлично-чашкениот систем утврдени во каудалниот пол на свински бубрези не одстапуваат од истите во инфериорниот пол на човечки бубрег. Сепак, недостатокот на студии за просторната анатомија на каудалниот пол на свински бубрези ја лимитира можноста за нивна детална компарација и укажува на потребата од дополнителни истражувања на оваа проблематика.

Предлагаме свинскиот бубрег да се користи во експерименталната урологија, како анимален модел во евалуацијата на исходите при тестирањето на нови методи за ефикасно одстранување на бубрежни камења со цел добиените знаења да се применат на човечки бубрег.

PELVI-CALICEAL SYSTEM ON PIG KIDNEY: A MODEL FOR UROLOGYC PROCEDURES IN HUMAN MEDICINE

Lazo Pendovski¹, Vlatko Ilieski¹, Dobrila Tosovska-Lazarova², Petkov Vladimir¹,
Ljupce Kocoski¹, Florina Popovska-Percinic¹

¹ Department of Functional morphology, Faculty of Veterinary Medicine - Skopje

² Institute for Anatomy, Medical faculty - Skopje

E-mail: lpPENDOVSKI@fvm.ukim.edu.mk

ABSTRACT

The aim of the study was to establish a valid experimental model of pig kidney that can be used in experimental works in human medicine.

The pig kidney collecting system was morphologically investigated on total 72 three-dimensional silicones S10 corrosion endo-cast. Morphometrical evaluation was performed on caudal pole collecting system anatomy considering the caudal infidibular length, caudal infidibular width and caudal infidibulopelvic angle.

The morphology on pelvi-caliceal system showed two different morphological forms which in 52.77% of cases were bilateral symmetric. The caudal infidibular length was 3.09sm and the infidibular width was measured on 0.66mm. The extent of caudal infidibulopelvic angle measured between infidibular and pelvi-uretral axis was 50.14 o degrees.

According the results in this study, there are many similarities in collecting system morphology between pig and human kidney. The resemblances in collecting system anatomy conduce to conclusion that the pig kidney is good animal model that could be used for urologic procedures in the field of experimental human medicine.

Key words: pig kidney, pelvi-caliceal system, animal model, morphology

ЛИТЕРАТУРА

1. Clayman, R. V., Kavoussi LR., Long SR., Dierks SM., Mertyk S and Soper NJ. Laparoscopic nefrotomy: initial report of pelvicoscopic organ ablation in the pig. J Endourol, 1990;4:247
2. Evan AP., Connors BA., Lingeman JE., Blomgren P., Willis LR. Branching patterns of the renal artery of the pig. The Anatomical record 1996 246: 217-223
3. Sampaio FJB., Pereira-Sampaio MA., Favorito LA. The pig kidney as an endourologic model: Anatomic contribution., Journal of Endourology 1998 12: 45-50
4. Sampaio FJB. Renal collecting system anatomy: its possible role in the effectiveness of renal stone treatment. Current Opinion in Urology 2001, 11:359-366
5. Di Dio LJA. Anatomy-surgical segments of human kidney. Anatomical Record 1961 139: 299
6. Graves FT. The anatomy of the intrarenal arteries and its application to segmental resection of the kidney. British Journal of Surgery, 1954 42:132-139
7. Sampaio FJB., Zanier JFC., Aragao AHM., Favorito LA. Intrarenal access; 3-dimensional anatomical study. Jurnal of Urology 1992 148: 1769-1773
8. Sleight MW., Grower RL. Wickham JE. Intrarenal access. Urology 1980 15: 475-480
9. Sampaio FJB.. Spatial anatomy of the lower calices: importance in extracorporeal shock wave lithotripsy. In: Renal Anatomy Applied to Endourology and Intervertebral Radiology. Edited by Sampaio FJB and R. Uflacker. New York: Thieme medical Publishers, pp.16-22,1993
10. Knoll T., Musial A., Trojan L., Ptashnyk T., Michel MA., Alken P., Kohrmann UK. Measurement of renal Anatomy for prediction of lower-pole caliceal stone clearance: Reproducibility of different parameters. Journal of Endourology 2003, 17 :447-451
11. Elbahnasy AM., Shalhav AL., Hoening DM., et al. Lower caliceal stone clearance after shock wave lithotripsy or ureteroscopy. The impact of lower pole radiographic anatomy. J Urol, 1998; 159: 676-682
12. Gupta NP., Singh DV., Hemal AK., Mandal S. Infidibulopelvic anatomy and clearance in inferior caliceal calculi with shock wave lithotripsy. J Urology 2000; 163:24-27
13. Sampaio FJB, D'Anunciacao LA., Eduardo CGS., Comparative follow-up pf patients with acute and obtuse infidibulum-pelvic angle submitted to extracorporeal shock wave lithotripsy for lower caliceal stones: Preliminary report and proposed study design. J of Endou. 1997; 11: 157-161
14. Gozen AS., Kilic AS., Aktoz T., Akdere H. Renal anatomic factors for lower caliceal stone formation. Int. J Urology and Nephrology. 2006; 38:79-85
15. Kupeli B., Tunc L., Acar C., Gurocak S., Alkibay T., Guneri C., Bozkirli I. The impact of pelvicalceal anatomical variation between the stone -bearing and normal contra lateral kidney on stone formation in adult patients with lower caliceal stones. Int Braz J Urol. 2006(32)(3): 287-294
16. Willis IR. Evan AP., Connors BA. Effects of extracorporeal shock wave lithotripsy to one kidney bilateral glomerular filtration rate and PAH clearance in minipigs. J Urol 1996; 156:1502

17. Sampaio FJB.,Aragao AHM. Inferior pole collecting system. Its probable role extracorporeal shock wave lithotripsy J Urol 1992; 147:322-324
18. Sampaio FJB. Anatomic classification of the pelviocalcial system: urology and radiological implication. In: Renal anatomy applied to urology, Endourology and Intervention radiology. New York: Thieme Medical Publishers 1993;
19. Kriz W., Barrett JM., Peter S. The renal vasculature: Anatomical-functional aspects., International review of Physiology, Kidney and Urinary Tract physiology II, 1976 volume 11:1-21